# 弱形式化した支配方程式を学習する Variational PINN による熱伝導方程式の逆解析 (シンポジウム講演概要)

Inverse Analysis of Heat Equation using Variational PINN (Proceedings of Symposium on Applied Mechanics)

浅井 光輝 (九州大・工) 出口 翔大(九州大・工) Shota DEGUCHI, Kyushu University

Mitsuteru ASAI, Kyushu University E-mail: deguchi@doc.kyushu-u.ac.jp

PINN (Physics-Informed Neural Network) has been one of the most promising scientific machine learning models to evaluate physical phenomena. It has been applied to a wide range of partial differential equations (PDEs) thanks to its flexibility (one only needs to impose specific governing equations depending on problems). However, several scenarios and problems have been found, where PINN fails to capture the solutions. One of the potential reasons is that, as is characterized to be a collocation method to evaluate the governing PDEs, it struggles to recover the entire solution when the solution includes a steep change such as shock wave. In this context, hp-VPINN is a powerful candidate to mitigate this issue since it can refine the mesh / polynomials progressively and locally. We investigate its effectiveness with particular focus on the inverse analysis application.

#### 1. 緒言

データ駆動型科学の技術が台頭してから、その実用性が 幅広い分野で示され、工学分野にも浸透してきた. 近年で は、機械学習・深層学習の応用が増加しており、これらの 技術を用いて物理問題に取り組む研究が盛んである.特に, 物理現象の支配方程式の情報を学習に用いる PINN

(Physics-Informed Neural Network) 1)は、順解析、および逆 解析の両者に柔軟に対応可能であるという特性を持ち、工 学分野から医療分野まで,応用例が広く展開されている2). 順解析においては、歴史的に成熟しつつある数値解析技術 と比較して、その優位性を示すことは未だ困難な状況にあ る. 一方, 逆解析に関しては, 限定的に入手可能な観測デ ータ柔軟に取り込むことができるという長所があり,数値 解析では実現困難な問題への適用可能性が期待できる.

著者らは、上記の機械学習モデル PINN を用い、非圧縮 性流体の流れ場・パラメータ逆解析技術を開発してきた. 著者らの先行研究では, 逆解析において, データ観測点の 配置を検討することで一定の高精度化を達成したものの、 数%ポイントの改善に留まっていた<sup>3)</sup>. 本稿では、PINN が 支配方程式の情報を強形式で学習するのに対し、Petrov-Galerkin 法により弱形式化した支配方程式を学習に取り込 む VPINN (Variational PINN) 4)を導入し、逆解析の高精度 化の可能性を検討する.

# 2. 機械学習手法

### 2. 1. PINN: Physics-Informed Neural Network

まず,入力を $\mathbf{x}(\in \mathbb{R}^{f_{\mathrm{in}}})$ ,出力を $\hat{\mathbf{y}}(\in \mathbb{R}^{f_{\mathrm{out}}})$ とするL層のニ ューラルネットワークにおいて、第 $l(=1,2,\cdots,L)$ 層での順 伝播 $\mathbf{z}^{(l)}$ ( $\in \mathbb{R}^{f_{\text{hidden}}}$ )は以下の通りである.

$$\mathbf{z}^{(l)} - \sigma^{(l)} (\mathbf{W}^{(l)} \mathbf{z}^{(l-1)} + \mathbf{h}^{(l)})$$
 (1)

 $\mathbf{z}^{(l)} = \sigma^{(l)} (\mathbf{W}^{(l)} \mathbf{z}^{(l-1)} + \mathbf{b}^{(l)})$  (1) ここで、 $\mathbf{z}^{(0)} = \mathbf{x}$ 、 $\mathbf{z}^{(L)} = \hat{\mathbf{y}}$ であり、 $\sigma^{(l)}(\cdot)$ は要素ごとに作用 する非線形写像(出力層でのみ恒等写像)である. また,  $\mathbf{W}^{(l)}$ ,  $\mathbf{b}^{(l)}$ は第l層における重み, バイアスである. 本稿で は,以下に示す無次元化した非定常熱伝導方程式を考える.

$$\frac{\partial}{\partial t}u + \nabla \cdot (\kappa \nabla u) = f \tag{2}$$

$$u(0, x) = g \tag{3}$$

$$u(t, x) = h \tag{4}$$

$$u(0,x) = g \tag{3}$$

$$u(t, x_{\Gamma}) = h \tag{4}$$

ここで, u = u(t,x),  $0 \le t \le T$ ,  $0 \le x \le L$ であり, uは物体 の温度、 $\kappa$ は熱伝導率、fは熱源である。本稿では、伝導率 は定数  $(\nabla \cdot (\kappa \nabla u) \rightarrow \kappa \nabla^2 u)$ , 熱源はゼロとして (f = 0), 式(2)を簡略化した. また, 式(4), (5)より Dirichlet 型の境界 条件のみ考える. ここで, 各物理量がニューラルネットワ ークによって近似されるとき,以下の関係が満足されるべ きである.

$$\frac{\partial}{\partial t}\hat{u} + \kappa \nabla^2 \hat{u} \approx 0 \tag{5}$$

$$\hat{u}(0, x) \approx g \tag{6}$$

$$\hat{u}(0,x) \approx g \tag{6}$$

$$\hat{u}(t, x_{\Gamma}) \approx h$$
 (7)

ここで、ハット付きの文字:は、対応する物理量がニュー ラルネットワークによる近似解であることを示す. 以上よ り、PINN が最小化する損失関数 $\mathcal{L}_{PINN}$ は以下のように定義 される.

$$\mathcal{L}_{\text{PINN}}(\boldsymbol{\theta}, \widehat{\boldsymbol{\mu}}) \coloneqq w_{\text{PDE}}^{\text{Str}} \mathcal{L}_{\text{PDE}}^{\text{Str}} + w_{\text{IG}} \mathcal{L}_{\text{IC}} + w_{\text{BC}} \mathcal{L}_{\text{BC}} + w_{\text{Data}} \mathcal{L}_{\text{Data}}$$
(8)

$$\theta, \hat{\mu}) := w_{\text{PDE}}^{\text{Str}} \mathcal{L}_{\text{PDE}}^{\text{Str}} + w_{\text{IC}} \mathcal{L}_{\text{LC}} + w_{\text{BC}} \mathcal{L}_{\text{BC}} + w_{\text{Data}} \mathcal{L}_{\text{Data}}$$

$$\mathcal{L}_{\text{PDE}}^{\text{Str}} = \sum_{i}^{N_{\text{PDE}}} \left| \frac{\partial}{\partial t} \hat{u}_{i} + \hat{\kappa} \nabla^{2} \hat{u}_{i} \right|^{2}$$

$$\mathcal{L}_{\text{IC}} = \sum_{i}^{N_{\text{IC}}} |\hat{u}_{i} - g(x_{i})|^{2}$$

$$\mathcal{L}_{\text{BC}} = \sum_{i}^{N_{\text{BC}}} |\hat{u}_{i} - h(t_{i}, x_{i})|^{2}$$

$$\mathcal{L}_{\text{Data}} = \sum_{i}^{N_{\text{Data}}} |\hat{u}_{i} - u(t_{i}, x_{i})|^{2}$$

$$(12)$$

$$\mathcal{L}_{IC} = \sum_{i}^{N_{IC}} |\hat{u}_i - g(x_i)|^2$$
 (10)

$$\mathcal{L}_{BC} = \sum_{i}^{N_{BC}} |\hat{u}_i - h(t_i, x_i)|^2$$
 (11)

$$\mathcal{L}_{\text{Data}} = \sum_{i}^{\text{Data}} |\hat{u}_i - u(t_i, x_i)|^2$$
 (12)

ここで,  $\hat{u}_i = \hat{u}(t_i, x_i)$ である.  $\mathcal{L}_{PDE}^{Str}$ は支配方程式との整合性 を評価する損失項であり、 $\mathcal{L}_{IC}$ 、 $\mathcal{L}_{BC}$ はそれぞれ初期条件、 境界条件の誤差を、LDataは観測データとの差異を評価する. なお, 式(8)では $\boldsymbol{\theta} = \left\{ \mathbf{W}^{(l)}, \mathbf{b}^{(l)} \right\}_{l=1}^L$ ,  $\hat{\boldsymbol{\mu}} = \left\{ \hat{\kappa} \right\}$ とした. また,  $w_{\text{PDE}}^{\text{Str}}$ ,  $w_{\text{IC}}$ ,  $w_{\text{BC}}$ ,  $w_{\text{Data}}$ は各項に与える重みである. 重みの 定め方については未だ議論が展開されているが、本稿では 全て1.0とした.

## 2. 2. VPINN: Variational PINN

PINN は、式(2)に示す支配方程式の情報を直接取り込む (式(9)) ことで学習を行う. ここで, 元の支配方程式に対 する弱形式を考え, 弱形式化された支配方程式の情報を学 習に用いることを考える. まず, 式(2)に対して Dirichlet 境 界でゼロとなる試験関数 $u^*$ を乗じ、領域積分を行う.

$$\begin{split} \int_{\Omega} \nabla^2 u u^* d\Omega &= \int_{\Omega} \nabla \cdot (\nabla u u^*) d\Omega - \int_{\Omega} \nabla u \cdot \nabla u^* d\Omega \\ &= \int_{\Gamma} \nabla u u^* d\Gamma - \int_{\Omega} \nabla u \cdot \nabla u^* d\Omega \\ &= -\int_{\Omega} \nabla u \cdot \nabla u^* d\Omega \end{split} \tag{14}$$

ここで, Γ上での積分に関して Dirichlet 境界上で $u^* = 0$ なる 条件を用いた.よって,式(13)は以下のように改められる.

$$\int_{\Omega} \frac{\partial}{\partial t} u u^* d\Omega - \kappa \int_{\Omega} \nabla u \cdot \nabla u^* d\Omega = 0$$
 (15)

弱形式である式(15)において、各物理量をニューラルネッ トワークにより近似し、VPINN が最小化する損失関数  $\mathcal{L}_{VPINN}$ を以下のように定義する.

$$\mathcal{L}_{\text{VPINN}}(\boldsymbol{\theta}, \widehat{\boldsymbol{\mu}}) \coloneqq w_{\text{PDE}}^{\text{Var}} \mathcal{L}_{\text{PDE}}^{\text{Var}} + w_{\text{IC}} \mathcal{L}_{\text{IC}} + w_{\text{BC}} \mathcal{L}_{\text{BC}} + w_{\text{Data}} \mathcal{L}_{\text{Data}}$$
(16)

$$\mathcal{L}_{\mathrm{PDE}}^{\mathrm{Var}} = \left| \int_{\Omega} \frac{\partial}{\partial t} \hat{u} u^* d\Omega - \hat{\kappa} \int_{\Omega} \nabla \hat{u} \cdot \nabla u^* d\Omega \right|^2$$
 (17)  
ここで、 $\mathcal{L}_{\mathrm{PDE}}^{\mathrm{Var}}$  は弱形式化された支配方程式との整合性を評

価する損失項である. 式(8)と(16)は類似しているが, 支配 方程式の情報の組み込み方が強形式・弱形式のいずれに基 づくかによって異なる. なお, 各項に与える重みについて は PINN と同様に全て1.0とした.

#### 3. PINN および VPINN による逆解析

式(2)-(4)に示す非定常熱伝導問題において、いくつかの 点で観測される物体の温度から, 伝導率の逆解析を行った. 初期条件に $g = \sin(\pi x/L)$ を, 境界条件にh = 0を与えれば, 温度分布uには以下の解析解が存在する.

$$u(t,x) = \sin\left(\frac{\pi x}{L}\right) \cdot \exp\left(-\frac{\kappa \pi^2 t}{L^2}\right)$$
 (18)

本稿ではT=5, L=1,  $\kappa=0.1$ として Figure 1 に示す解を 得た. Figure 1 にマゼンタ色の四角形で示す点が観測点で あり、式(12)における $u(t_i,x_i)$ に相当する. ここでは、x= $\{0.25, 0.5, 0.75\}$ の 3 点において, t = 1, 2, 3, 4に観測される 温度の情報から伝導率を逆解析した. 適用したニューラル ネットワーク構造は PINN と VPINN で共有であり,  $f_{\text{hidden}} = 5$ , L = 4,  $\sigma^{(l)}(\cdot) = \tanh(\cdot)$ とした. VPINN におい ては、空間を部分領域へ分割しない場合と、3 要素・5 要素 へ等分割する場合を考慮した. また,式(17)の積分には Gauss-Lobatto 求積法を用い、求積点はt,x方向にそれぞれ10 点ずつ配置した. また, 試験関数には5次までの Legendre 多項式を用いた. VPINN の求積点を100点としたことから, PINN では $N_{PDE} = 100$ とした. なお,  $N_{IC} = 50$ ,  $N_{BC} = 100$ ,  $N_{Data} = 12$ は両者で共通である.

30,000エポックの学習を行った結果, 最終1,000エポック 間での平均値、標準誤差、および真値との誤差を Table 1 に 示す. PINN が最も高精度であり, 次いで分割なし, 5 要素, 3要素の順に精度が良い結果であった.

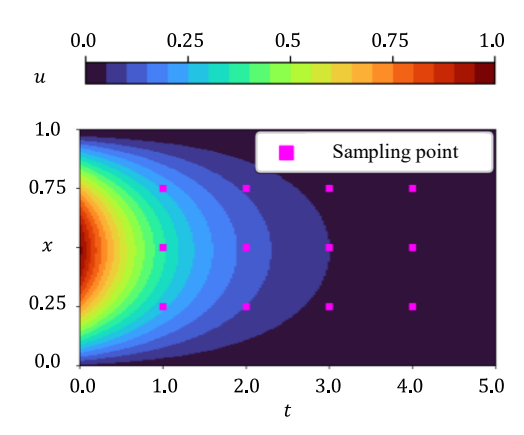


Figure 1 Problem setup and geometry

Table 1 Inverse analysis of diffusion rate  $\kappa (= 0.1)$ 

	Estimate	Relative Error [%]
PINN	$0.1001 \\ (\pm 8.8 \times 10^{-7})$	0.116
VPINN (1 element)	$0.1004 \\ (\pm 7.0 \times 10^{-8})$	0.377
VPINN (3 elements)	$0.1009 \\ (\pm 9.2 \times 10^{-7})$	0.929
VPINN (5 elements)	$0.1008 \\ (\pm 9.2 \times 10^{-7})$	0.783

#### 4. 結言

本稿では、主に順解析への適用に向けて議論が進められ てきた VPINN に関して, その逆解析への適用性に注目し, PINN と VPINN での逆解析精度の比較を行った. 基礎検討 として熱伝導方程式を考え, 観測データから物体の熱伝導 率を逆解析した結果, PINN が要素分割を行った VPINN よ り高精度な結果を得た. 現状では、VPINN の学習に用いる 試験関数の次数や隠れ層の自由度 $f_{
m hidden}$ の定め方に関する 指針が不明瞭であり,議論の余地が残されている.さらに, 活性化関数の選択や求積点の数など、これまで PINN の文 脈で知られてきた経験が適用できない領域にある可能性が ある. また、VPINNの空間分割に関しては、今回の問題は 解が急激に変化する問題でなかったため、空間分割の有効 性が希薄であった. 解が局所的かつ急激に変動する問題へ の応用を通し、VPINN がどのような問題で有用となるか検 討する必要がある. 以上の検討に関しては, 講演会で発表 したい.

# 参考文献

- M. Raissi, P. Perdikaris, G.E. Karniadakis: Physics-informed neural networks: A deep learning framework for solving forward and inverse problems involving nonlinear partial differential equations, Journal of Computational Physics, Vol. 378, pp. 686-707, 2019.
- A. Arzani, J.X. Wang, R.M. D'Souza: Uncovering near-wall blood flow from sparse data with physics-informed neural networks, Physics of Fluids, Vol. 33, No. 7, pp. 071905,
- 3) 出口翔大、柴田洋佑、浅井光輝:空間特徴量抽出を援 用した PINNs によるパラメータ逆解析の効率化、土木 学会論文集, Vol. 79, No. 15, 2022.
- E. Kharazmi, Z. Zhang, G.E.M. Karniadakis: hp-VPINNs: Variational physics-informed neural networks with domain decomposition, Computer Methods in Applied Mechanics and Engineering, Vol. 374, pp. 113547, 2021.